

# 木 材 の 貨 徵 試 験

正会員 岡 本 舞 三\*

1. 木材(松)に鋼球を壓入せしめて、その抵抗力を測定した結果の報告である。その理論的考察は後日に譲る。

2. 木材の繊維に直角の方向に鋼球を静かに壓入せしめ、その抵抗力及破碎の状況を検し、以て木材の耐弾力判定に關する資料を得るを目的とする。

3. 自然乾燥状態にある松(比重 0.53~0.63)の 12 cm 正角材を長さ約 40 cm に切斷し試験片とす。之を支間 10 cm 及 15 cm にて單純支承し、中央に鋼球を繊維に直角の方向に壓入貫徹せしめ、壓入力と壓入深との関係を測定し、猶木材を切斷して破碎状況を

檢した。鋼球の直徑は 15 mm, 21 mm, 17.4 mm, 14.2 mm, 10 mm, 5 mm, の 6 種類とし、壓入にはアムスター耐壓試験機を用ひた。(圖-1)

4. 圖-1. 壓入量と壓入量の関係曲線の 1 例を示すと圖-2 の如くである。壓入量-壓入力曲線のもつ共通なる性質として次のことが認められる。即ち抵抗力は壓入の初期に於ては壓入量と共に増加し、壓入量が球徑の約 1.2 倍になると、その後はほぼ一定の値を持続する。(この値がかなり變動する少數例があつたが、切斷して檢した結果は之等は局部的な過度のやにの蓄積とか蟲食等特異なる原因によることが判明した)。球の先端が木材の下端より球徑の約 2 倍の位置に達すれば抵抗力は減少しあらむ。以上の性質から壓入量-壓入力曲線を説明圖的に表はすと圖-3 の如くなる。 $H_1$  の部分はお

圖-1.

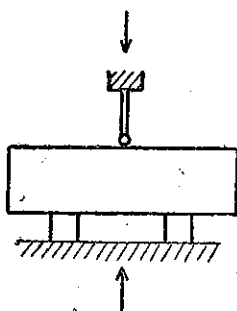
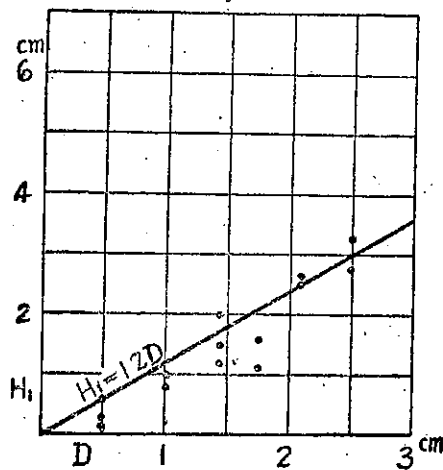


圖-3.



ほよそ 2 勾配よりなり  $H_2$  の部分では球徑が小なる場合には末尾に水平部を存し、大なる場合には 1 勾配である。 $H_1$  と  $H_2$  の長さと球徑との關係は圖-4 に示す如く  $H_1$  は球徑の約 1.2 倍、 $H_2$  は約 2 倍である。

圖-4 1.



5. 圖-2. 壓入量-壓入力曲線に示される定常的な壓入力を以て木材の貫徹に対する抵抗力を表はす事は妥當であらう實測せる抵抗力の値には球を壓入する爲の棒の摩擦力が加はつてゐるから、それを測りその  $2/3$  を減じた値を以て抵抗力とする事にした。この摩擦力は僅少で、この補正の影響は僅少である。球徑  $D$  (cm) と

\* 工學士 東京帝國大學第二工學部助教授

圖-2.

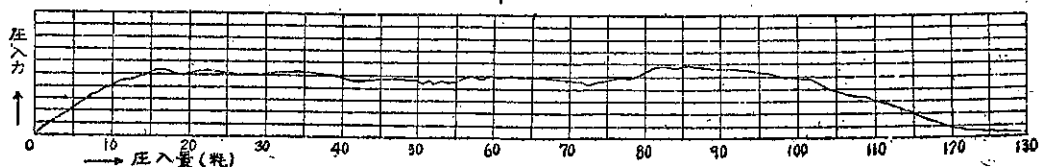
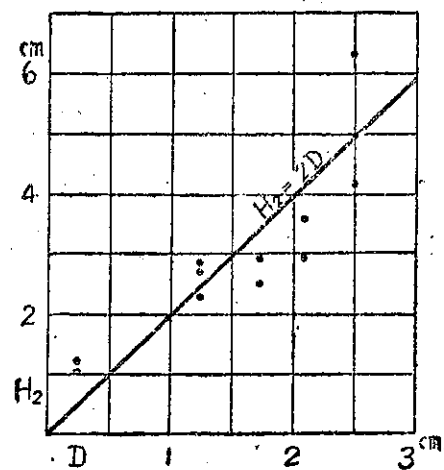


図-4.2



抵抗力  $P$ (ton) との関係は表-1 表の如くであつて断面積  $A$  ( $\text{cm}^2$ ) と抵抗力  $P$ (ton) との関係を圖示すると図-5 の如くなる。之で見ると  $P$  と  $A$  との間には

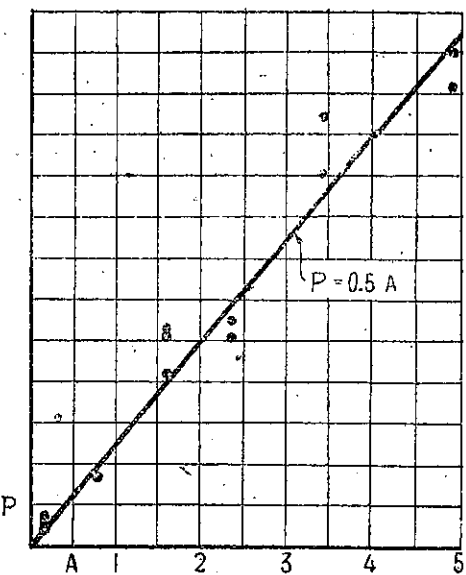
$$P = 0.5 A$$

なる正比例関係が認められ 単位面積當り  $500 \text{ kg/cm}^2$  の抵抗力がもつことが判明する。

表-1.

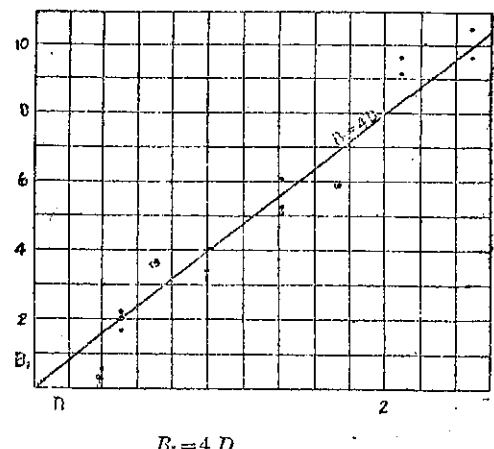
試験片番號	比重	球 徑 (cm)	断面積 ( $\text{cm}^2$ )	抵抗力 (ton)	破壊の幅(cm)
1	0.61	0.50	0.196	0.10	2.1
2	0.53	2.10	3.47	1.80	9.2
3	0.55	2.10	3.47	2.07	9.7
4	0.59	2.50	4.91	2.40	9.7
5	0.61	2.50	4.91	2.23	10.6
6	0.58	1.42	1.58	1.03	6.1
7	0.59	1.42	1.58	0.86	5.1
8	0.63	1.00	0.785	0.40	3.5
9	0.60	1.42	1.58	1.08	5.2
11	0.58	1.74	2.38	1.02	6.0
10	0.62	1.74	2.38	1.10	6.0
12	0.62	1.50	0.196	0.11	1.7
13	0.55	1.00	0.785	0.36	3.2
14	0.57	0.50	0.196	0.14	2.2

図-5.



6. 球の壓入により破砕される區域は弾孔を中心として纖維の方向に長く、之に直角の方向に短く、おおよそ矩形をなして居りその範囲は壓入深に關せず一定である。試験片を切斷して長い方の幅  $B_1$  を測定せる結果は球徑の約4倍である。(表-1 及図-6 参照)

図-6.



短い方の幅  $B_2$  についてはおおよそ球徑の3倍位の様であるが都合により後報に報告する。

7. 寫真 1 及 2 は纖維に平行に切斷せる破砕の状況である。1 は中間部迄壓入せる場合、2 は貫徹であるが破壊の幅が上から下までほど一定なることが認め

られ抵抗力が一定なることの間に密接な関係を推測せしめる。

写真-1



写真-2

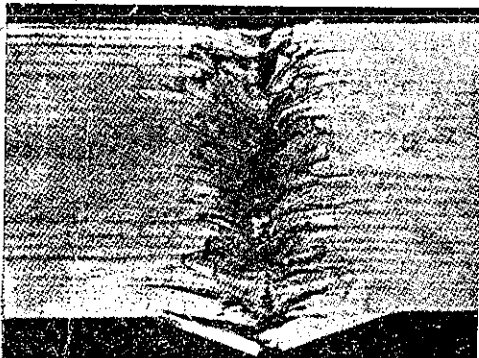
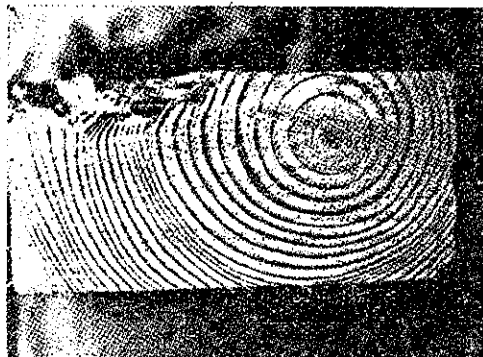


写真-3



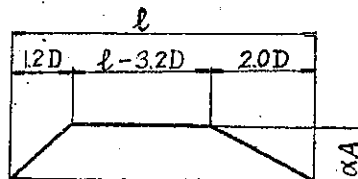
破壊は年輪の境の面にそぶ水平なるすべりと破壊の幅の境界部の引張曲げによる切斷と球面下における押切る様に作用する力による破断との3部に分類しうる様に思はれるが詳しい考察は後報にゆづる。写真3は横断面である。球径の約3倍の範囲は影響をうけて年輪が急傾斜してゐるのが認められる。

8. 次の2項を假定しすれば弾丸が貫徹せざる最少限度の木材厚 $l$ を計算する事が出来る。

a) 弾丸に及ぼす抵抗は侵入速度に無関係に圖-7の如くであること。

b) 断面積が等しければ弾丸の形にかゝわらず球弾に對すると同じ抵抗力が働くこと。

圖-7.



貫徹に要する仕事  $p/2 \cdot (l-3.2D+l)$  を弾丸の運動エネルギー  $\frac{W}{2g} V^2$  に等しとおきて

$$l = 1.6 D + 10^5 \frac{W}{A} V^2$$

茲に  $l$ =所要最少厚 (cm)  $W$ =弾丸重量 (t.)

$V$ =着速 (100/m/sec)  $D$ =弾徑 (cm)

侵徹して弾丸が木材の下端より弾徑の約2倍以上はなれて止る場合には侵徹間に失はれた仕事  $p/2(l+l-1.2D)$  を弾丸の運動エネルギー  $\frac{W}{2g} V^2$  に等しとおきて

$$l = 0.6 D + 10^5 \frac{W}{A} V^2$$

茲に  $l$ =侵徹深 (cm).

9. 實驗の性質上發表を急いで爲單に事實の報告にとめたが理論的考察も引續き進めたいと思つてゐる。本實驗については東大第二工學部土木工學科學生久保慶三郎君の熱心な努力による所多く茲に謝意を表する。

(昭. 19. 10. 25. 受付)